



# БИООРГАНИЧЕСКАЯ ХИМИЯ

том 6 \* № 7 \* 1980

УДК 547.963.32.07

## ФЕРМЕНТАТИВНЫЙ СИНТЕЗ ИОНАНУКЛЕОТИДА GpTpUpCpGpApUpCpC — АНАЛОГА Т Ψ-ПЕТЛИ ДРОЖЖЕВОЙ тРНК<sub>1</sub><sup>Val</sup> \*

*Женодарова С. М., Клягина В. П., Седельникова Э. А.,  
Смолянинова О. А.*

*Институт биологической физики Академии наук СССР, г. Пущино*

*Антонович Е. Г., Манькин А. С., Прокофьев М. А.*

*Московский государственный университет*

*Загребельный С. Н., Майстренко В. Ф., Пустошилова Н. М*

*Специальное конструкторско-технологическое бюро  
биологически активных веществ, г. Новосибирск*

*Болезин М. И., Смолянинов В. В.*

*Институт прикладной микробиологии, г. Протвино*

Синтезирован ионануклеотид GpTpUpCpGpApUpCpC — фрагмент 54–62 дрожжевой тРНК<sub>1</sub><sup>Val</sup>, в котором остаток псевдоуридина-56 заменен уридином, а остаток N<sup>1</sup>-метиладенозина-59 — аденоzinом. Синтез проводили в три этапа: 1) получение GpTpUpC; 2) получение pGpApUpCpC; 3) сшивка тетра- и пентануклеотида. Для синтеза исходных блоков применяли различные нуклеолитические ферменты: мало-специфичную рибонуклеазу *Pen. brevicompactum*, гуанилспецифичные рибонуклеазы *Asp. oryzae* (T<sub>1</sub>) и *Asp. clavatus*, полинуклеотидфосфорилазы *M. luteus* и *E. coli*. Сшивку фрагментов 54–57 и 58–62 осуществляли с помощью РНК-лигазы T4.

Синтетические олигорибонуклеотиды находят все более широкое применение при изучении структурной организации и механизмов функционирования рибонуклеиновых кислот, а также ферментов, катализирующих их превращения. В частности, наличие фрагментов транспортных РНК и их аналогов обеспечивает возможность получения реконструированных молекул тРНК [3] и исследования роли отдельных участков или отдельных нуклеотидных остатков (например, модифицированных) в функционировании целой молекулы.

Ранее нами была предложена схема ферментативного синтеза ТΨ-петли валиновой тРНК<sub>1</sub> из дрожжей, основанная на использовании различных ферментов нуклеинового обмена [4], и синтезирован ряд фрагментов ТΨ-петли [4, 5, 6]. В настоящей работе мы сообщаем о синтезе ионануклеотида — фрагмента 54–62 валиновой тРНК<sub>1</sub> из дрожжей, в котором остаток псевдоуридина-56 заменен уридином, а остаток N<sup>1</sup>-метиладенозина-59 — аденоzinом (рис. 1).

\* Предварительное сообщение см. [1]. Сокращения: РНК-фосфорилаза — полинуклеотидфосфорилаза; остальные сокращения соответствуют общепринятым [2].

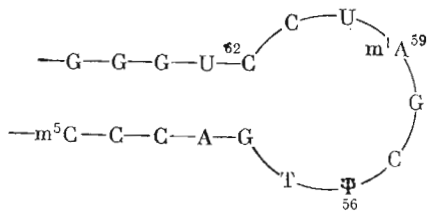
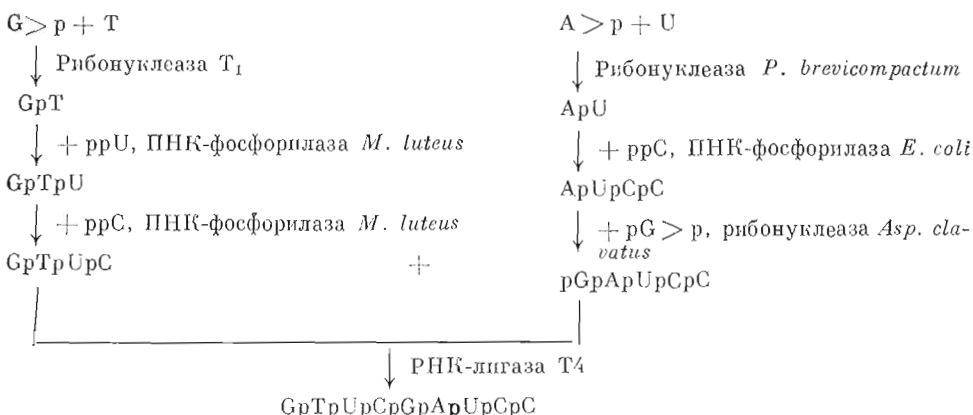


Рис. 1. ТΨ-петля тРНК<sub>1</sub><sup>Val</sup> из дрожжей с прилегающими участками

В соответствии с предложенной схемой [4] синтез этого фрагмента состоял из двух частей: синтеза тетрануклеозидтрифосфата GpTpUpC – аналога фрагмента 54–57 – и синтеза пентануклеотида pGpApUpCpC – аналога фрагмента 58–62 (см. схему). Учитывая результаты работ [1, 5, 6], тетрануклеозидтрифосфат GpTpUpC, аналог «универсального» олигонуклеотида, найденного в большинстве исследованных тРНК, синтезировали в три стадии, последовательно наращивая олигонуклеотидную цепь с 3'-конца. Первая стадия – получение гуанил-(3'-5')-тимидина из гуанозин-2',3'-циклофосфата и тимидина в присутствии рибонуклеазы T<sub>1</sub> – была подробно изучена в работе [5]. При проведении синтеза в «микроварианте» объем реакционной смеси не превышал 0,1 мл. Образовавшийся динуклеозидмонофосфат выделяли с помощью электрофореза на бумаге в 0,05 М растворе бикарбоната триэтиламмония (рН 7,6) с последующей хроматографией на бумаге. Выход GpT составлял ~30% на взятый и ~65% на вошедший в реакцию гуанозин-2',3'-циклофосфат, т. е. был достаточно высок, чтобы считать этот путь пригодным для препаративных целей.



В связи с тем что для синтеза аналого ТΨ-петли требовалось достаточно большое количество исходных блоков, в том числе GpT, в настоящей работе мы проводили синтез GpT в препаративном масштабе, исходя из 50 мкмоль гуанозин-2',3'-циклофосфата и 150 мкмоль тимидина (объем реакционной смеси 0,8 мл). Фермент инактивировали добавлением 1 мл 7 М NH<sub>3</sub> и компоненты реакционной смеси разделяли хроматографией на колонке с целлюлозой Cellex N1 в системе растворителей Б (см. «Экспериментальную часть»).

Таким образом, при переходе к препаративному масштабу выход динуклеозидмонофосфата сохраняется на том же уровне. Гуанозин-2',3'-циклофосфат и тимидин, не вошедшие в реакцию и выделенные при хроматографии, использовали в синтезе повторно. Всего было получено ~100 мг GpT. Если при однократной хроматографии на целлюлозе GpT содержал незначительные примеси T, G>p и Gp, проводили повторную хроматографию на такой же колонке.

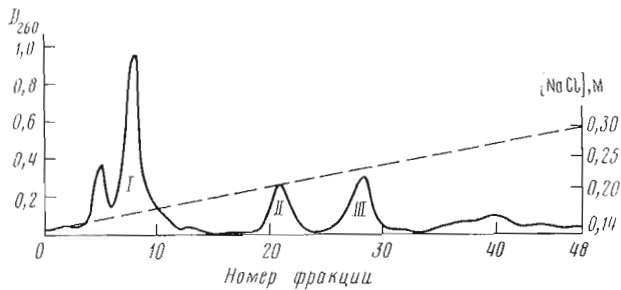


Рис. 2. Разделение реакционной смеси, полученной при синтезе нонануклеотида, на колонке ( $0,9 \times 22$  см) с DEAE-сепадексом в системе Томлинсона – Тевера [10]: I – GpTpUpC, II – pGpApUpCpC+GpApUpCpC, III – GpTpUpCpGpApUpCpC

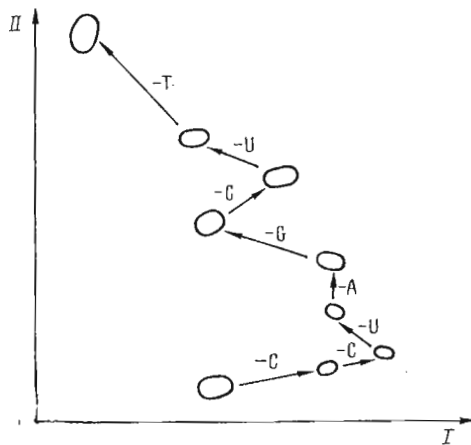


Рис. 3. Нуклеотидная карта нонануклеотида GpTpUpCpGpApUpCpC (реконструкция): I – электрофорез на ацетате целлюлозы, pH 3,5; II – гомохроматография на DEAE-целлюлозе

Следующую стадию – синтез тринуклеозидифосфата гуанилил-(3'-5')-тимидилил-(3'-5')-уриду из GpT и ppU в присутствии полинуклеотидфосфорилазы *M. luteus* – также проводили в препаративном масштабе в условиях, оптимальных для ограниченного присоединения остатка уридиловой кислоты к GpU [6]. Для разделения реакционной смеси применяли гель-хроматографию на сепадексе G-10. Продукты синтеза GpTpU и GpTpUpU выделяли из пика I (см. «Экспериментальную часть») хроматографией на бумаге в системе В. Из 238 мкмоль GpT получено  $\sim 25$  мкмоль GpTpU и 112 мкмоль GpT регенерировано.

Таким образом, в препаративных синтезах выход GpTpU составил в среднем  $\sim 10\%$  на взятый и  $\sim 20\%$  на вошедший в реакцию динуклеозидмонофосфат.

Третья стадия – синтез тетрануклеозидтрифосфата GpTpUpC путем ограниченного присоединения цитидин-5'-диfosфата, катализируемого полинуклеотидфосфорилазой *M. luteus*, к тринуклеозидифосфату GpTpU – была проведена в условиях, аналогичных приведенным выше. При этом из 33 мкмоль GpTpU получено  $\sim 3,3$  мкмоль GpTpUpC и  $\sim 13$  мкмоль GpTpU регенерировано, т. е. выход GpTpUpC в среднем составил  $\sim 10\%$  на взятый акцептор фосфата и  $\sim 16\%$  в расчете на вошедший в реакцию тринуклеозидифосфат. Выделение GpTpUpC из реакционной смеси проводили с помощью препаративной хроматографии и электрофореза на бумаге.

Таблица 1

Реакция ApU с ppC, катализируемая полинуклеотидфосфорилазой *M. luteus*

[ApU]/[ppC]	Время, ч	Выход, %			
		ApUpG		ApUpCpC *	
		I **	II	I	II
1 : 1	0,5	4	11	1	5
2 : 1	0,5	8	19	3	7
2 : 1	1,0	9	39	3	15
2 : 1	2,0	12	22	2	3

\* Реакционная смесь содержит также небольшие количества пента- и гексануклеотида.

\*\* Выход определен в расчете на взятый (I) и израсходованный (II) ApU.

Таблица 2

## Реакция ApUpC с ppC, катализируемая полинуклеотидфосфорилазами

ПНК-фосфорилаза	Время, ч	Выход ApUpCpC, % в расчете на ApUpC	
		взятый	вошедший в реакцию *
<i>M. luteus</i>	2	14	24
<i>E. coli</i>	1	14	36
<i>E. coli</i>	2	15	26

Таблица 3

## Синтез фрагментов 58–61, 58–62

Субстраты * (отношение)	Рибонуклеаза	Время, ч	Выход, %		Возврат акцептора, %	
			в расчете на акцептор			
			взятый	израсход.		
G>p+ApUpC (1 : 1)	T <sub>1</sub>	5	6	16	63	
pG>p+ApUpC (1 : 1)	»	5	5	12	61	
pG>p+ApUpCpC (1 : 1)	»	5	3	5	36	
» (1 : 1)	<i>Asp. clav.</i>	5	5	15	65	
» (2 : 1)	»	5	6	24	60	
» (2 : 1)	»	15	12	35	66	
» (2 : 1)	»	24	12	30	58	

\* [донор, фосфат] = [акцептор] = 0,03 М; [рибонуклеаза T<sub>1</sub>] 20 ед. акт./мл; [рибонуклеаза *Asp. clav.*] 4–6 ед. акт./мл; 0° С.

Пентануклеотид pGpApUpCpC синтезировали также в три стадии (см. схему). Динуклеозидмонофосфат аденинил-(3'-5')-уридин получали исходя из 25 мг (75 мкмоль) А>r и 55 мг (225 мкмоль) уридина в присутствии малоспецифичной рибонуклеазы *Pen. brevicompactum*. Через 48 ч реакционная смесь, содержащая 16% ApU, 11% А>r и 73% Ap, была разделена на колонке с целлюлозным порошком. Динуклеозидфосфат ApU дополнительно очищали препаративной хроматографией на бумаге или повторной хроматографией на той же колонке.

Таблица 4

Характеристики фрагментов аналога ТΨ-пептида дрожжевой тРНК<sup>Val</sup><sub>1</sub>

Олигонуклеотид	$R_{Gp}$ (в системе А)	$E_{Gp}$	Ферментативный гидролиз		
			Рибонуклеаза	Продукты	Отношение
ApUpC	0,74	0,76	A	ApUp, C	1 : 1,1
GpTpUpC	0,51 *	0,80	A	GpTp, Up, C	1 : 1
GpApUpC	0,62	0,86	T <sub>1</sub>	Gp, ApUpC ↓ РНаза ** А	1 : 0,9
pGpApUpC	0,42	0,91	T <sub>1</sub>	pGp, ApUpC ↓ РНаза А	1 : 1,2
ApUpCpC	0,67 *	0,86	A	ApUp, Cp, C	1 : 1,1
pGpApUpCpC	0,04	0,96	T <sub>1</sub>	pGp, ApUpCpC ↓ РНаза А	1 : 1,1
				ApUp, Cp, C	1 : 0,9 : 1,3

\*  $R_{Gp}$  в системе А.

\*\* РНаза — рибонуклеаза.

Таблица 5

УФ-спектры олигонуклеотидов в  $H_2O$ 

Олигонуклеотид	$\lambda_{\text{макс}}$	$\lambda_{\text{мин}}$	$D_{250}/D_{260}$	$D_{250}/D_{260}$	$D_{250}/D_{280}$	$D_{290}/D_{260}$
ApUpC	262	232	0,86	0,88	0,47	0,18
GpTpUpC	261	231	0,85	0,88	0,63	0,23
GpApUpC	259	233	0,89	0,84	0,54	0,20
pGpApUpC	259	233	0,92	0,85	0,57	0,29
ApUpCpC	264	242	0,89	0,95	0,68	0,37
pGpApUpCpC	260	235	0,96	0,89	0,66	0,10

Таблица 6

## Синтез пентануклеотида GpTpUpCpApUpCpC из фрагментов GpTpUpC и pGpApUpCpC в присутствии РНК-лигазы T4

$\frac{ GpTpUpC }{ pGpApUpCpC } \times$	РНК-лигаза, ед. акт./мл	Выход		Возврат, %	
		нмоль	%	GpTpUpC	pGpApUpCpC **
3,0 : 1	70	35	11	57	67
2,3 : 1	225	70	22	59	39
1,3 : 1	450	76	23	59	28

\*  $|GpTpUpC| = \sim 1 \text{ мМ}$ .\*\* Пентануклеотид содержал  $\sim 50\%$  GpApUpCpC.

Тетрануклеозидтрифосфат ApUpCpC — аналог фрагмента 59—62 — содержит на 3'-конце два одинаковых нуклеотидных остатка. Поэтому он может быть получен непосредственно из ApU и 3'-дифосфата цитидина. Мы проводили синтез, меняя соотношение субстратов (донара и акцептора фосфата) и продолжительность инкубирования (табл. 1). Во всех проведенных нами опытах не удалось добиться преимущественного образования тетрануклеозидтрифосфата, выход которого составлял в лучшем случае  $\sim 3\%$  на взятый и  $\sim 15\%$  на вошедший в реакцию ApU. Реакционная смесь содержала при этом значительное количество ApUpC, который

был использован для синтеза ApUpCpC (табл. 2). Хотя эффективность полипууклеотидфосфорилаз *M. luteus* и *E. coli* в этом синтезе примерно одинакова, предпочтительнее работать с ферментом из *E. coli*, который менее активно катализирует фосфоролиз ApUpC в исследованных условиях.

Для синтеза пентапууклеотида pGpApUpCpC – аналога фрагмента 58–62 – использовали гуанилспецифичную рибонуклеазу T<sub>1</sub>. Условия для проведения этого синтеза были подобраны на модельной реакции:



После инкубирования в течение 5 ч эквимольной смеси G>p и ApUpC с рибонуклеазой T<sub>1</sub> мы получили GpApUpC с выходом ~6% на взятый и ~16% на вошедший в реакцию акцептор. Введение фосфорильной группы в 5'-положение донора фосфата, как и в других случаях [7], мало влияет на выход олигонуклеотида (табл. 3). Выход pGpApUpCpC увеличился в несколько раз после замены рибонуклеазы T<sub>1</sub> гуанилспецифичной рибонуклеазой, выделенной из культуральной жидкости *Asp. clavatus* [8] (см. табл. 3).

Разделение реакционных смесей в случае синтезов ApUpC, ApUpCpC, GpApUpC, pGpApUpC и pGpApUpCpC проводили, применив препаративные электрофорез и хроматографию на бумаге. Всего получено ~1,3 мкмоль pGpApUpCpC.

Все синтезированные олигонуклеотиды гомогенны при электрофорезе и хроматографии на бумаге в различных системах растворителей. Нуклеотидный состав этих соединений определяли, анализируя гидролизат, полученный при обработке олигонуклеотида тем или иным ферментом, с помощью хроматографии на бумаге и УФ-спектрофотометрии. Характеристики олигонуклеотидов приведены в табл. 4, 5.

Последний этап синтеза аналога TΨ-петли состоял в сшивании тетрапууклеотида GpTpUpC и пентапууклеотида pGpApUpCpC с участием РНК-лигазы T4. Реакцию проводили в условиях, близких к описанным в работе [9] (табл. 6). После инкубирования и инактивации фермента реакционную смесь разделяли на DEAE-сепадексе в системе Томлинсона – Терера [10] (рис. 2). Фракции, содержащие отдельные компоненты реакционной смеси, обессоливали на сепадексе G-15 и хроматографировали на бумаге в системе Г. Микроколоночная хроматография на модифицированном силикагеле «Аминохром» в градиенте концентрации фосфат-ионов (0,005–0,1 М) в 7 М мочевине показала, что нонапууклеотид содержит ~5% примесей\*.

Нуклеотидный состав GpTpUpCpGpApUpCpC определяли после гидролиза 70%-ной HClO<sub>4</sub> методом жидкостной хроматографии высокого давления и получили отношение G:T:U:A:C 2,3:1:2,4:0,8:3.

Для определения нуклеотидной последовательности нонапууклеотид фосфорилировали по 5'-концу с помощью полипууклеотиднуклезы и [<sup>32</sup>P]ATP и индивидуальный меченный попапууклеотид выделяли гель-фильтрацией на микроколонке с сепадексом G-50. После частичного гидролиза [<sup>32</sup>P]нонапууклеотида фосфодиэстеразой змеиного яда и разделения полученного набора фрагментов методом двумерного фингерпринта [11] получили авторадиограмму, подтверждающую структуру аналога TΨ-петли (рис. 3).

Таким образом, ферментативный синтез аналога TΨ-петли дрожжевой валиновой РНК<sub>I</sub> показывает, что предложенное одним из нас комплексное использование ферментов пукленнового обмена рибонуклеаз с различной субстратной специфичностью, полипууклеотидфосфорилаз, РНК-лигазы [12] является рациональным и эффективным методом синтеза олигорибонуклеотидов заданного строения.

\* Анализ выполнен В. Л. Друшей (кафедра химии природных соединений МГУ).

## Экспериментальная часть

В работе использовали Na-соли аденоzin-2'(3')-фосфата, ADP, UDP, уридин и панкреатическую рибонуклеазу (Reanal, Венгрия), риботимидин, Li-соль CDP, норит (Serva, ФРГ), гуанозин, гуанозин-2',3'-циклофосфат (дициклогексилгуанидиниевая соль), рибонуклеазу T<sub>1</sub>, полинуклеотидфосфорилазу *M. luteus* и цеплюлозный порошок Cellex N-1 (Calbioc hem, США), сефадекс G-15, G-50, G-100, DEAE-сефадекс A-25 (Pharmacia, Швеция), фосфоцеллюлозу P-11, DEAE-целлюлозу DE-52 (Whatman, Англия), [<sup>14</sup>C]ATP с удельной радиоактивностью 58 мКи/ммоль, [ $\gamma$ -<sup>32</sup>P]ATP с удельной радиоактивностью 14,6 Ки/моль (Amersham, Англия). Модифицированный силикагель аминохром был любезно предоставлен В. П. Кумаревым (СИТБ БАВ, Новосибирск).

Дициклогексилгуанидиниевую соль G>r превращали в аммониевую соль обработкой дауэксом 50W (NH<sub>4</sub><sup>+</sup>-форма). 2'(3'),5'-Дифосфат гуанозина получали из гуапозина, фосфорилируя последний пирофосфорилхлоридом по методике, описанной в работе [13]. 5'-Фосфорилгуанозин-2',3'-циклофосфат был приготовлен циклизацией 2'(3'),5'-дифосфата гуанозина *n*-толуолсульфонатом циклогексил- $\beta$ -[N-(N'-метилморфолиний)]этилкарбодимида [14].

Гуанилспецифичная рибонуклеаза *Asp. clavatus* (КФ 2.7.7.26) и мало-специфичная рибонуклеаза *Pen. brevicompactum* (КФ 2.7.7.17) выделены С. И. Безбородовой и сотр. (ИБФМ АН СССР) [8, 15]. За единицу активности принимали количество фермента, расщепляющее 1 мкмоль G>r за 30 мин при 37° С и pH 7,0 (*Asp. clavatus*) или 1 мкмоль G>r за 1 мин при 37° С и pH 5,2 (*Pen. brevicompactum*).

Полинуклеотидфосфорилаза *E. coli* (КФ 2.7.7.8) выделена в лаборатории Б. А. Юодки (Вильнюсский университет); единица активности соответствовала количеству фермента, способному превращать 1 мкмоль ppa в poly(A) за 60 мин.

РНК-лигаза (КФ 6.5.1.3) выделена из клеток *E. coli*, инфицированных фагом T4 ат N82 в середине логарифмической фазы роста с множественностью 1—5, по схеме, предложенной в работе [16]. Для определения активности фермента использовали его способность образовывать с ATP кислотонерастворимый комплекс [17]. Реакцию проводили, выдерживая при 20° С смесь следующего состава: 60 мМ трис-HCl (pH 7,6), 5 мМ дитиотреит, 6 мМ MgCl<sub>2</sub>, 0,5 мМ [<sup>14</sup>C]ATP с удельной радиоактивностью 58 мКи/ммоль и фермент в количестве 0,4—10 мкл. Через 10 мин к реакционной смеси прибавляли 3 мл охлажденного раствора 5%-ной трихлоруксусной кислоты и выдерживали при 0° С в течение 20 мин, после чего пробу фильтровали через ультрафильтр тиана АУФС СЫППОР (ЧССР) и фильтр промывали 20 мл холодного раствора 1%-ной трихлоруксусной кислоты. Радиоактивность осадков на фильтре определяли в толуольном сцинтилляторе на счетчике Mark II (Nuclear Chicago, США). За единицу активности фермента принимали такое его количество, которое связывает 1 нмоль АМР в вышеописанных условиях. В работе использовали препарат, имеющий активность 3000 ед. акт./мл.

Активность РНК-лигазы определяли также по превращению 5'-[<sup>32</sup>P]A(pA)<sub>12</sub> в фосфатазоустойчивую форму. Реакцию проводили как описано в работе [18]. За единицу активности принимали такое количество фермента, которое катализирует образование 1 нмоль фосфодиэфирных связей за 30 мин при 37° С. Активность препарата по этому тесту составила 600 ед. акт./мл.

Эндонуклеазную активность в препарате РНК-лигазы определяли после обработки ферментом ДНК фага  $\lambda$  анализом степени сохранения ее нативности методом электрофореза в агарозе [19]: 1 мкг ДНК в 30 мкл «лигазного» буфера выдерживали с 40 ед. акт. фермента (здесь и далее единицы активности указаны по АМР-лигазному комплексу) при 10° С в течение 20 ч. После такой обработки ДНК мигрировала одной полосой,

соответствующей нативной ДНК фага  $\lambda$ , при электрофорезе в 1%-ном агарозном геле.

Экзонуклеазную активность в препарате РНК-лигазы определяли по деградации ( $pU$ )<sub>7</sub>: 0,2–1 мМ ( $pU$ )<sub>7</sub> в 50 мМ трис-HCl, pH 7,6, содержащем 5 мМ дитиотрейт и 10 мМ MgCl<sub>2</sub>, обрабатывали ферментом в концентрации 500 ед. акт./мл. Анализ реакционной смеси микроколоночной хроматографией в системе Томлинсона – Тенера показал, что за 1 ч при 37° С не происходит деградации ( $pU$ )<sub>7</sub>, а через 24 ч при 25° С сохраняется 50–60% субстрата.

Фосфатазную активность тестировали по образованию меченого ортофосфата при инкубации 1 мМ раствора АТР в «лигазном» буфере с РНК-лигазой в концентрации 150–300 ед. акт./мл в течение 24 ч при 25° С или 3 ч при 37° С, определяя радиоактивность, не сорбируемую норитом [20]. Применившийся в работе препарат не разрушал [<sup>32</sup>P]АТР.

Хроматографию и электрофорез проводили на бумаге FN-2 и FN-3 (Filtrak, ГДР). Для хроматографии использовали следующие системы растворителей: А – этанол – конц. аммиак – вода (65:20:25); Б – пропанол-2 – конц. аммиак – вода (7:1:2); В – этанол – 1 М ацетат аммония (7:3), Г – пропанол-1 – конц. аммиак – вода (5:1:4). Вертикальный электрофорез проводили в течение 2 ч при напряжении 20 В/см в 0,05 М растворе бикарбоната триэтиламмония.

УФ-спектры снимали на спектрофотометре Specord (ГДР) с автоматической записью, остальные спектрофотометрические измерения проводили на спектрофотометре СФ-26.

*Синтез олигорибонуклеотидов, катализируемый рибонуклеазами.* Динуклеозидмонофосфаты GpT и ApU синтезировали, как описано в работах [5] и [1] соответственно, исходя из количеств субстратов, указанных в тексте. При получении GpT реакционную смесь наносили на колонку с целлюлозой Cellex N-1 (100×2,6 см), уравновешенную системой Б; элюцию проводили тем же растворителем со скоростью 12 мл/ч, собирая фракции по 4 мл. Фракции 95–135, 165–180, 190–230 содержали риботимидин, G>p и GpT соответственно. В случае синтеза ApU реакционную смесь хроматографировали на той же колонке, используя систему Б, при скорости элюции 24 мл/ч и объеме фракций 6 мл. Фракции 120–130 содержали ApU. Тетрануклеотид pGpApUpC и пентануклеотид pGpApUpCpC получали в условиях, приведенных в табл. 3. Объем реакционных смесей составлял 0,1–0,15 мл.

*Синтез олигорибонуклеотидов с полинуклеотидфосфорилазой.* Динуклеозидмонофосфат или тринуклеозиддифосфат и нуклеозид-5'-дифосфат инкубировали с ферментом при 37° С в 0,05 М трис-HCl-буфере, pH 9,0, содержащем 0,05 мМ EDTA и 0,01 М MgCl<sub>2</sub>. Начальные концентрации субстратов и ферmenta: [ppU]=[ppC]=1/2, [акцептор фосфата]=0,005 М; [ПНК-фосфорилаза *M. luteus*] 6 мг/мл; [ПНК-фосфорилаза *E. coli*] 1,2 ед. акт./мл. Продолжительность инкубирования приведена в соответствующих таблицах. Реакционную смесь делили с помощью препаративной хроматографии на бумаге в системе А (17–20 ч) и/или в системе Б (48 ч). Олигонуклеотиды дополнительно освобождали от примесей электрофорезом на бумаге и повторной хроматографией в системе Б. При синтезе GpTpU первоначальное разделение реакционной смеси проводили на колонке (200×2 см) с сефадексом G-10. При промывании колонки водой pH 7 со скоростью 7 мл/ч (объем фракций 2,3 мл) на профиile обнаружили два пика: пик I (фракции 85–108) содержит GpTpU, GpTpUpU, ppU, pU; пик II (фракции 120–135) – GpT. Из пика I GpTpU и GpTpUpU выделяли далее препаративным электрофорезом на бумаге с последующей очисткой хроматографией на бумаге в системах А или Б.

*Нонануклеотид GpTpUpCpGpApUpCpC.* Раствор GpTpUpC и pGpApUpCpC (начальные концентрации приведены в табл. 6) в 0,33 мл 0,05 М трис-HCl-буфера, pH 7,6, содержащего 0,15 мМ АТР, 3,3 мМ дитио-

эритрит, 20 мМ MgCl<sub>2</sub>, бычий сывороточный альбумин (150 мкг/мл) и РНК-лигазу (см. концентрацию в табл. 6), выдерживали 4 ч при 37° С, после чего реакционную смесь прогревали 2 мин на кипящей водяной бане, охлаждали и упаривали в вакууме. Остаток растворяли в 0,5 мл 0,14 М NaCl в 0,02 М трис-HCl-буфере, pH 7,6, с 7 М мочевиной и наносили на колонку (22×0,9 см) с DEAE-сефадексом (A-25). Элюцию проводили раствором NaCl (градиент концентрации 0,14—0,3 М) в том же буферном растворе, используя прибор Ultrogard (LKB, Швеция). Скорость элюции ~18 мл/ч, фракции собирали через 30 мин. На рис. 2 представлен ход элюции реакционной смеси, полученной в третьем опыте (табл. 6).

*Определение нуклеотидного состава.* Гидролизовали 0,05 ОЕ GpTpUpCpGpApUpCpC с помощью 70%-ной HClO<sub>4</sub> 1 ч при 100° С. Гидролизат анализировали на жидкостном хроматографе высокого давления (Varian, Швейцария, модель 8500), используя колонку (30×0,24 см) с полимеризационным катионообменником аминекс A-7 (Bio-Rad, США) (9±2 мкм). Основания вымывали 0,4 М формиатом аммония (pH 4,5) со скоростью 25 мл/мин при 50° С. Пики на хроматограмме идентифицировали по времени удерживания. Количество оснований определяли, измеряя площади пиков с калибровкой соответствующей стандартной смеси.

Авторы приносят глубокую благодарность В. Л. Друце и А. А. Пурмалю за проведение микроколоночной хроматографии, а также В. К. Карагмановой и Г. С. Гайда за содействие при проведении анализа нонапнуклеотида методом нуклеотидных карт.

#### ЛИТЕРАТУРА

- Zhenodarova S. M., Klyagina V. P., Smolyaninova O. A., Soboleva I. A., Khabarova M. I. (1978) Nucleic Acids Res., Spec. Publ. N4, s137-s140.
- IUPAC-IUB Commission on Biochemical Nomenclature (1971) Biochim. et biophys. acta, 247, 1-12.
- Ohtsuka E., Nishikawa S., Ikebara M., Takemura S. (1976) Eur. J. Biochem., 66, 251-255.
- Zhenodarova S. M. (1978) in: Synthesis, Structure and Chemistry of tRNAs and their Components (Wiewiorowski M. ed.), pp. 185-201.
- Женодарова С. М., Клягина В. П., Смолянинова О. А., Хабарова М. И., Антонович Е. Г., Прокофьев М. А. (1975) Биоорганс. химия, 1, 604-610.
- Zhenodarova S. M., Klyagina V. P., Smolyaninova O. A., Khabarova M. I., Antonovich E. G., Prokof'yev M. A. (1977) Nucleic Acids Res., 4, 2099-2107.
- Седельникова Э. А., Клягина В. П., Женодарова С. М. (1973) Молекулярн. биология, 7, 27-35.
- Безбородова С. И., Гуляева В. И., Морозова В. Г. (1975) Прикл. биохимия и микробиология, 11, 9-13.
- Uhlenbeck O. C., Cameron V. (1977) Nucleic Acids Res., 4, 85-98.
- Тенер Г. (1970) в кн.: Методы исследования нуклеиновых кислот, с. 85-90, «Мир», М.
- Sanger F. (1973) in: Virus Research (Fox C. F., Robinson W. S., eds), pp. 573-599, Acad. Press, New York — London.
- Женодарова С. М. (1978) Докт. дис. «Ферментативный синтез олигорибопуклевидов», М.
- Barrio J. R., Barrio M. C. G., Leonard N. J., England T. E., Uhlenbeck O. C. (1978) Biochemistry, 17, 2077-2081.
- Кавуликко А. П., Сухаревич В. Н., Тихомирова-Сидорова Н. С. (1971) Ж. общ. химии, 41, 679-687.
- Безбородова С. И., Ильина Т. В., Захарова Н. Г., Крупянко В. И. (1971) Биохимия, 36, 474-482.
- Higgins N. P., Geballe A. P., Snopke T. J., Sugino A., Cozzarelli N. R. (1977) Nucleic Acids Res., 4, 3175-3186.
- Cranston J. W., Silber R., Malathi V. G., Hurwitz J. (1974) J. Biol. Chem., 249, 7447-7456.
- Snopke T. J., Sugino A., Agarwal K. L., Cozzarelli N. R. (1976) Biochem. and Biophys. Res. Commun., 68, 417-424.
- Helling R. B., Goodman H. M., Boyer H. W. (1974) J. Virol., 14, 1235-1244.
- Weiss B., Jacguemin-Sablon A., Live T. R., Farced G. C., Richardson C. C. (1968) J. Biol. Chem., 243, 4543-4555.

Поступила в редакцию  
6.IX.1979

После доработки  
28.XI.1979

ENZYMATIC SYNTHESIS OF GpTpUpCpGpApUpCpC NONANUCLEOTIDE — AN  
ANALOG OF THE TΨ-LOOP OF YEAST tRNA<sub>1</sub><sup>Val</sup>

ZHENODAROVA S. M., KLYAGINA V. P., SEDELNIKOVA E. A., SMOLYANINOVA O. A.,  
ANTONOVICH E. G., MAN'KIN A. S., PROKOFIEV M. A., ZAGREBELNY S. N.,  
MAISTRENKO V. F., PUSTOSHLOVA N. M., BOLEZNIN M. I., SMOLYANINOV V. V.

*Institute of Biological Physics, Academy of Sciences of the USSR, Pushchino;  
M. V. Lomonosov State University, Moscow; Special Design and Technology  
Bureau for Biologically Active Compounds, Novosibirsk; Institute  
of Applied Microbiology, Protvino*

Nonanucleotide GpTpUpCpGpApUpCpC, corresponding to the TΨ-loop fragment of yeast tRNA<sub>1</sub><sup>Val</sup>, in which pseudouridine-56 is replaced by uridine and N<sup>1</sup>-methyladenosine-59 by adenosine, has been synthesized. For this purpose tetranucleoside triphosphate GpTpUpC and pentanucleotide pGpApUpCpC were prepared and joined by RNA ligase. The starting blocks were synthesized enzymatically by consecutive use of different nucleolytic enzymes: nonspecific ribonuclease *Penicillium brevicompactum*, guanyl-specific ribonucleases *Aspergillus oryzae* (T<sub>1</sub>) and *Aspergillus clavatus*, polynucleotide phosphorylases *E. coli* and *M. luteus*.